

УДК 537.2

## ВЗАИМОСВЯЗЬ ПЛОТНОСТИ РАСПРЕДЕЛЕНИЯ ЗАРЯДА С КРИВИЗНОЙ ПОВЕРХНОСТИ ОБЪЕМНОГО ПРОВОДНИКА

© 2020 г. П. А. Поляков<sup>1, \*</sup>, Н. Е. Русакова<sup>1</sup>, Ю. В. Самухина<sup>1</sup>

<sup>1</sup>Федеральное государственное бюджетное образовательное учреждение высшего образования “Московский государственный университет имени М.В. Ломоносова”, Москва, Россия

\*E-mail: polyakovpa@mail.ru

Поступила в редакцию 26.08.2019 г.

После доработки 13.09.2019 г.

Принята к публикации 28.10.2019 г.

Исследована кривизна поверхности твердого проводящего тела сложной формы. Проведено сравнение полученной зависимости с распределением зарядов по поверхности проводящего тела. Показано, что для такого тела максимальные значения кривизны и поверхностной плотности распределения зарядов достигаются в разных точках поверхности.

DOI: 10.31857/S0367676520020325

### ВВЕДЕНИЕ

Рассмотрим соответствие между величиной плотности распределения заряда по поверхности твердого проводящего тела вращения сложной формы и кривизной поверхности. Известно, что в общем случае распределение заряда по поверхности проводника не является равномерным. Согласно некоторым классическим учебникам (см., например, [1, 2]) максимальное значение плотности распределения заряда по поверхности соответствует максимальной кривизне данной поверхности. Исследования по установлению зависимости поверхностной плотности заряда от кривизны поверхности проводятся до настоящего времени. В более ранних работах [3–6] значение плотности заряда в любой точке проводящей поверхности считается пропорциональным корню четвертой степени из гауссовой кривизны в данной точке. Однако в более поздней публикации [7] доказано, что это не совсем так. В настоящей работе установлена частичная зависимость между поверхностной плотностью электрического заряда и корнем четвертой степени из гауссовой кривизны. Поверхностная плотность электрического заряда зависит и от других функций, поверхностных координат. На основе аналитических расчетов можно показать, что в точках, где плотность заряда максимальна, кривизна поверхности не достигает максимальных значений.

### ФОРМА ИССЛЕДУЕМОЙ ПРОВОДЯЩЕЙ ПОВЕРХНОСТИ И ПОВЕРХНОСТНАЯ ПЛОТНОСТЬ РАСПРЕДЕЛЕНИЯ ЗАРЯДА ПО ДАННОЙ ПОВЕРХНОСТИ

Ранее была разработана методика расчета аналитических выражений для плотности распределе-

ния заряда и формы поверхности нового класса тел вращения, для которых возможно точное решение задачи электростатики. Эта методика представлена в работах [8–11]. Для рассматриваемых тел потенциал на поверхности тела зависит только от полярного угла и не зависит от азимутального, то есть поверхности данных тел являются поверхностями вращения относительно оси  $Z$ .

Рассмотрим одно из проводящих тел вращения, принадлежащих этому классу. Пусть постоянный потенциал  $\varphi_\Sigma$  на поверхности этого тела задается формулой [8–11]:

$$\frac{1}{4\pi\epsilon_0} \left( \frac{a_0}{r} \pm \frac{a_1}{r^2} P_1(\cos\theta) \right) = \varphi_\Sigma, \quad \varphi \in [0; 2\pi), \quad (1)$$

где  $\epsilon_0$  – электрическая постоянная,  $a_1$  и  $a_0$  – некоторые постоянные,  $P_1(\cos\theta)$  – полином Лежандра первой степени. Параметр  $a_0$  имеет смысл суммарного электрического заряда  $q$ , распределенного по поверхности, задаваемой уравнением (1).

Введем безразмерные параметры:

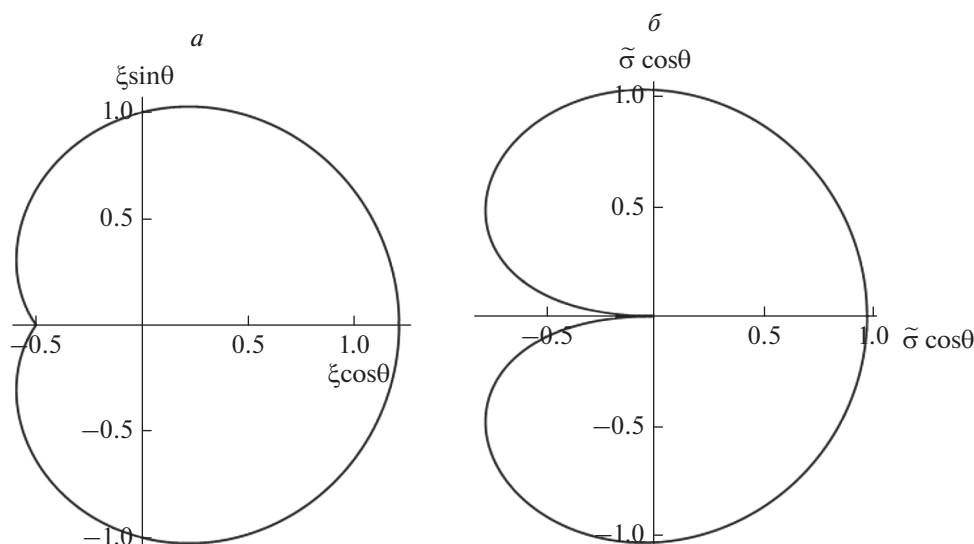
$$\xi = r/r_0, \quad \Psi = \frac{\varphi_\Sigma}{\varphi_0} = \frac{\varphi_\Sigma}{a_0/4\pi\epsilon_0 r_0}, \quad (2)$$

где  $r_0$  и  $q = a_0$  – радиус и заряд заряженной проводящей сферы,  $\xi$  – безразмерный радиус-вектор, нормированный на радиус этой сферы, и  $\Psi$  – безразмерный потенциал, нормированный на потенциал сферы  $\varphi_0 = a_0/(4\pi\epsilon_0 r_0)$ .

В терминах безразмерных параметров (2) выражение для потенциала принимает следующий вид

$$\Psi\xi^2 - \xi \mp k_1 \cos\theta = 0, \quad (3)$$

где  $k_1 = a_1/(a_0 r_0)$  – безразмерный коэффициент.



**Рис. 1.** *a* – Сечение поверхности вращения, задаваемой формулой (3), плоскостью, проходящей через ось  $Oz$  перпендикулярно координатной плоскости  $Oxy$ ; *b* – распределение заряда (6) по поверхности фигуры вращения, задаваемой (3).

При выборе в (3) знаков “+” и “-” имеем две идентичные фигуры, зеркально симметричные относительно друг друга. Решение уравнения (3) со знаком “-” позволяет получить уравнение поверхности рассматриваемого тела в безразмерных сферических координатах  $(\xi, \theta, \phi)$  в следующем виде [8, 9, 11]:

$$\xi(\theta) = \frac{1 + \sqrt{1 + 4\Psi k_1 \cos \theta}}{2\Psi}, \quad \phi \in [0; 2\pi), \quad (4)$$

где  $\Psi k_1$  должно удовлетворять условию:

$$\Psi k_1 \leq 1/4. \quad (5)$$

Если значение произведения  $\Psi k_1$  не удовлетворяет этому условию, величина  $\xi(\theta)$  будет комплексной, и полученная поверхность будет иметь разрывы.

Тогда поверхностная плотность распределения заряда, в соответствии с уравнением может быть записана в следующем безразмерном виде [8, 9, 11]:

$$\tilde{\sigma} = \frac{\sigma}{\sigma_0} = \sqrt{\frac{64\Psi^6 k_1^2 \sin^2 \theta}{(1 + \sqrt{1 + 4\Psi k_1 \cos \theta})^6} + \left( \frac{16\Psi^3 k_1 \cos \theta + 4\Psi^2 (1 + \sqrt{1 + 4\Psi k_1 \cos \theta})}{(1 + \sqrt{1 + 4\Psi k_1 \cos \theta})^3} \right)^2}, \quad (6)$$

где  $\sigma$  – плотность распределения зарядов по поверхности проводника,  $\sigma_0 = a_0 / (4\pi r_0^2)$  – поверхностная плотность зарядов для заряженной сферы, используемой в нормировке (2).

Для графического представления формы поверхности и распределения заряда зададим систему координат:

$$\begin{cases} X = \xi \sin \theta \sin \phi \\ Y = \xi \sin \theta \cos \phi. \\ Z = \xi \cos \theta \end{cases} \quad (7)$$

На рис. 1*a* и 1*b* приведены, соответственно, форма поверхности (4) и распределение заряда (6) по поверхности рассматриваемого проводящего тела

при значениях параметров  $\Psi = 1$  и  $k_1 = 0.25$  в сечении плоскостью, проходящей через ось  $Oz$  перпендикулярно плоскости  $Oxy$ .

### КРИВИЗНА ПОВЕРХНОСТИ ПРОВОДЯЩЕГО ТЕЛА

Рассчитаем зависимость кривизны для нашего тела вращения. Уравнение поверхности определяется формулой (3), а поверхностная плотность распределения заряда имеет вид (6).

Введем обозначения:

$$x(\theta) = \xi(\theta) \sin \theta; \quad z(\theta) = \xi(\theta) \cos \theta, \quad (8)$$

где  $\xi(\theta)$  определяется формулой (3). Вычислим коэффициенты первой квадратичной формы на-

шей поверхности вращения [12]. Для этого сначала рассчитаем первые производные  $x'(\theta)$  и  $z'(\theta)$ :

$$\begin{cases} x'(\theta) = \frac{\cos \theta (1 + \sqrt{1 + 4\Psi k_1 \cos \theta})}{2\Psi} - \frac{k_1 \sin^2 \theta}{\sqrt{1 + 4\Psi k_1 \cos \theta}} \\ z'(\theta) = -\frac{k_1 \cos \theta \sin \theta}{\sqrt{1 + 4\Psi k_1 \cos \theta}} - \frac{(1 + \sqrt{1 + 4\Psi k_1 \cos \theta}) \sin \theta}{2\Psi} \end{cases} \quad (9)$$

Запишем уравнение, определяющее нашу поверхность вращения в виде [13]:

$$\vec{r}(\varphi, \theta) = x(\theta) \cos \varphi \cdot \vec{i} + x(\theta) \sin \varphi \cdot \vec{j} + z(\theta) \cdot \vec{k}, \quad (10)$$

где  $\vec{i}, \vec{j}, \vec{k}$  – единичные векторы вдоль осей  $x, y, z$  соответственно.

$$\begin{cases} \vec{r}_\varphi = -x(\theta) \sin \varphi \cdot \vec{i} + x(\theta) \cos \varphi \cdot \vec{j} \\ \vec{r}_\theta = x'(\theta) \cos \varphi \cdot \vec{i} + x'(\theta) \sin \varphi \cdot \vec{j} + z'(\theta) \cdot \vec{k} \end{cases} \quad (11)$$

Обозначим коэффициенты первой квадратичной формы поверхности  $E, F, G$  и получим выражения для этих коэффициентов:

$$\begin{aligned} E &= \vec{r}_\varphi^2 = x'(\theta); & F &= (\vec{r}_\varphi, \vec{r}_\theta) = 0; \\ G &= \vec{r}_\theta^2 = (x'(\theta))^2 + (z'(\theta))^2. \end{aligned} \quad (12)$$

В терминах наших безразмерных параметров получим:

$$\begin{cases} E = \frac{(1 + \sqrt{1 + 4\Psi k_1 \cos \theta})^2 \sin^2 \theta}{4\Psi^2} \\ F = 0 \\ G = \frac{1 + \Psi^2 k_1^2 (5 + 3 \cos 2\theta) + 6\Psi k_1 \cos \theta + (1 + 4\Psi k_1 \cos \theta)^{3/2}}{2\Psi^2 (1 + 4\Psi k_1 \cos \theta)} \end{cases} \quad (13)$$

Для нахождения коэффициентов второй квадратичной формы произведем следующие вычисления:

$$[\vec{r}_\theta, \vec{r}_\theta] = x(\theta) z'(\theta) \cos \varphi \cdot \vec{i} + x(\theta) z'(\theta) \sin \varphi \cdot \vec{j} - x(\theta) x'(\theta) \cdot \vec{k}. \quad (14)$$

Единичный вектор нормали к поверхности определяется формулой [12]

$$\vec{n} = \frac{[\vec{r}_\varphi, \vec{r}_\theta]}{\|[\vec{r}_\varphi, \vec{r}_\theta]\|} = \frac{z'(\theta) \cos \varphi \cdot \vec{i} + z'(\theta) \sin \varphi \cdot \vec{j} - x'(\theta) \cdot \vec{k}}{\sqrt{(x'(\theta))^2 + (z'(\theta))^2}}, \quad (15)$$

$$\begin{cases} \vec{r}_{\varphi\varphi} = -x(\theta) \cos \varphi \cdot \vec{i} - x(\theta) \sin \varphi \cdot \vec{j} \\ \vec{r}_{\varphi\theta} = -x'(\theta) \sin \varphi \cdot \vec{i} + x'(\theta) \cos \varphi \cdot \vec{j} \\ \vec{r}_{\theta\theta} = x''(\theta) \cos \varphi \cdot \vec{i} - x''(\theta) \sin \varphi \cdot \vec{j} + z''(\theta) \cdot \vec{k} \end{cases} \quad (16)$$

Следовательно, коэффициенты второй квадратичной формы поверхности определяются следующими выражениями:

$$\begin{cases} L = (\vec{r}_{\varphi\varphi}, \vec{n}) = -\frac{x(\theta) z(\theta)}{\sqrt{(x'(\theta))^2 + (z'(\theta))^2}} \\ M = (\vec{r}_{\varphi\theta}, \vec{n}) = 0 \\ N = (\vec{r}_{\theta\theta}, \vec{n}) = \frac{x''(\theta) z'(\theta) - x'(\theta) z''(\theta)}{\sqrt{(x'(\theta))^2 + (z'(\theta))^2}} = -\frac{1}{\sqrt{(x'(\theta))^2 + (z'(\theta))^2}} \begin{vmatrix} x'(\theta) & z'(\theta) \\ x''(\theta) & z''(\theta) \end{vmatrix} \end{cases} \quad (17)$$

С учетом формулы (13) коэффициенты второй квадратичной квадратичной формы в безразмерных координатах имеют вид:

$$\left\{ \begin{aligned} L &= \frac{(1 + \sqrt{1 + 4A})(1 + 6A + \sqrt{1 + 4A}) \sin^2 \theta}{2\sqrt{2}\Psi^2 \sqrt{1 + 4A} \sqrt{\frac{1 + 5\Psi^2 k_1^2 + 6A + \sqrt{1 + 4A} + 4A\sqrt{1 + 4A} + 3\Psi^2 k_1^2 \cos 2\theta}{\Psi^2 (1 + 4A)}}} \\ N &= \frac{1 + 11\Psi^2 k_1^2 + 9A + 9\Psi^2 k_1^2 \cos 2\theta + \sqrt{1 + 4A}(1 + 9\Psi^2 k_1^2 + 7A + 3\Psi^2 k_1^2 \cos 2\theta)}{\sqrt{2}\Psi^2 (1 + 4A)^{3/2} \sqrt{\frac{1 + 5\Psi^2 k_1^2 + 6A + \sqrt{1 + 4A} + 4A\sqrt{1 + 4A} + 3\Psi^2 k_1^2 \cos \theta}{\Psi^2 (1 + 4A)}}} \end{aligned} \right. \quad (18)$$

где  $A = \Psi k_1 \cos \theta$ . Обозначим через  $k_1$  и  $k_2$  главные кривизны поверхности вращения. Главные кривизны выражаются через коэффициенты первой и второй квадратичной формы [14]:

$$K_1 = \frac{L}{E}, \quad K_2 = \frac{N}{G}, \quad (19)$$

а в безразмерном виде:

$$\left\{ \begin{aligned} K_1 &= \frac{2(1 + 6A + \sqrt{1 + 4A})}{\sqrt{1 + 4A}(1 + \sqrt{1 + 4A}) \sqrt{\frac{1 + 5\Psi^2 k_1^2 + 6A + \sqrt{1 + 4A} + 4A\sqrt{1 + 4A} + 3\Psi^2 k_1^2 \cos 2\theta}{\Psi^2 (1 + 4A)}}} \\ K_2 &= \frac{\sqrt{2}(1 + 11\Psi^2 k_1^2 + 9A + 9\Psi^2 k_1^2 \cos 2\theta + \sqrt{1 + 4A}(1 + 9\Psi^2 k_1^2 + 7A + 3\Psi^2 k_1^2 \cos 2\theta))}{(1 + 4A)^{1/2} \sqrt{\frac{(1 + 5\Psi^2 k_1^2 + 6A + \sqrt{1 + 4A} + 4A\sqrt{1 + 4A} + 3\Psi^2 k_1^2 \cos 2\theta)^3}{\Psi^2}}} \end{aligned} \right.$$

Согласно [14] средняя кривизна определяется формулой:

$$H = \frac{1}{2}(K_1 + K_2). \quad (20)$$

На рис. 2 приведен график зависимости средней кривизны  $H(\theta)$  и безразмерной плотности поверхностного распределения зарядов  $\tilde{\sigma}(\theta)$  от полярного угла  $\theta \in [0, \pi]$  при значениях параметров  $\Psi = 1$  и  $k = 0.22$ .

На рис. 3а и 3б построены графики зависимостей производных от плотности распределения зарядов по поверхности проводника  $\tilde{\sigma}'(\theta)$  и от средней кривизны  $H'(\theta)$  при значениях параметров  $\Psi = 1$  и  $k = 0.22$ . Нули этих зависимостей соответствуют экстремумам средней кривизны  $H(\theta)$  и безразмерной плотности поверхностного распределения зарядов  $\tilde{\sigma}(\theta)$ .

Расчеты показывают, что производные функций поверхностного распределения заряда  $\tilde{\sigma}'(\theta)$  и средней кривизны поверхности  $H(\theta)$  обращаются в ноль при значениях  $\theta = 1.82$  и  $\theta = 1.99$  соответственно. Поскольку производные функций при переходе через соответствующие точки меняют свой

знак с плюса на минус, максимальное значение плотности распределения заряда по поверхности вращения достигается при  $\theta = 1.82$ , а средняя кривизна имеет максимальное значение при  $\theta = 1.99$ . Таким образом, максимумы отличаются примерно на 10 градусов (0.17 радиан) по углу  $\theta$ .

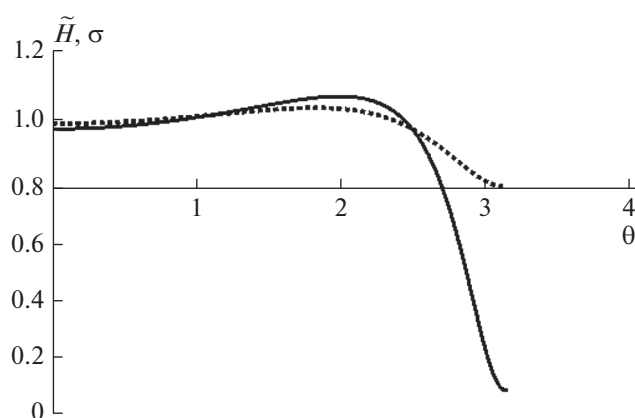


Рис. 2. Зависимость средней кривизны  $H(\theta)$  (сплошная кривая) и безразмерной плотности распределения заряда  $\tilde{\sigma}(\theta)$  по поверхности (пунктирная кривая) от полярного угла  $\theta$ .

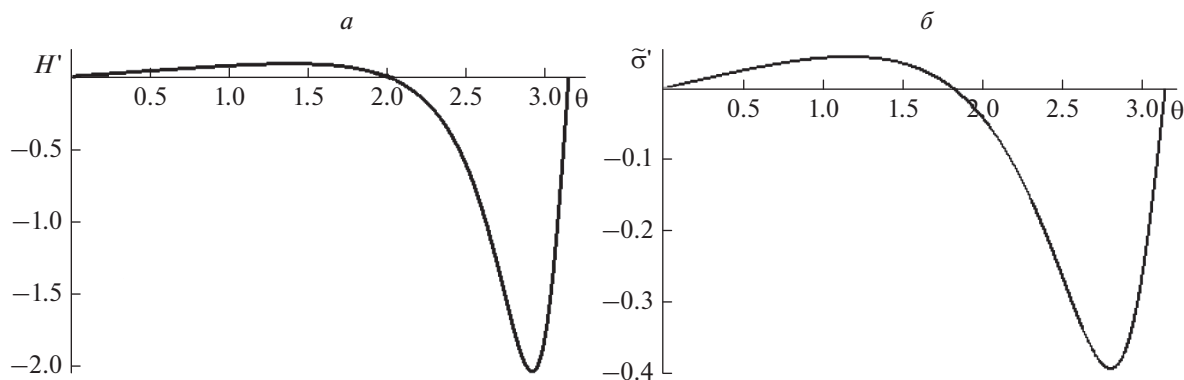


Рис. 3. *a* – Зависимость производной плотности распределения заряда по поверхности  $\tilde{\sigma}'$  от угла  $\theta$ ; *b* – зависимость производной средней кривизны  $H'$  от угла  $\theta$ .

### ЗАКЛЮЧЕНИЕ

Таким образом доказано, что для класса тел, описанного в работах [8–11] точки поверхности проводящего тела, в которых достигаются максимальные значения средней кривизны и плотности поверхностного распределения заряда не совпадают. Следовательно, для такого тела нельзя однозначно сказать, что большее значения поверхностной плотности заряда соответствует большему значению кривизны.

### СПИСОК ЛИТЕРАТУРЫ

1. Landau L.D. Electrodynamics of continuous media. Course of theoretical physics. V. 8. Oxford: Pergamon Press, 1984. 460 p.
2. Smythe W.B. Static and dynamic electricity. N.Y.: McGraw-Hill Book Company Inc., 1988. 400 p.
3. Enze L. // J. Phys. D. 1986. V. 19. № 1. P. 1.
4. Enze L. // J. Phys. D. 1987. V. 20. № 12. P. 160.
5. Liu K.M. // Amer. J. Phys. 1987. V. 55. № 9. P. 849.
6. McAllister I.W. // J. Phys. D. 1990. V. 23. № 3. P. 359.
7. Bhattacharya K. // Phys. Scr. 2016. V. 91. № 3. P. 355.
8. Поляков П.А., Русакова Н.Е., Самухина Ю.В. // Вестн. Моск. ун-та. Сер. 3. Физ. Астрон. 2014. № 6. С. 57.
9. Polyakov P.A., Rusakova N.E., Samukhina Y.V. // J. Electrostat. 2015. V. 77. P. 147.
10. Поляков П.А., Русакова Н.Е., Самухина Ю.В., Стока Г.П. // Сб. тр. XXIV Межд. конф. “Электромагнитное поле и материалы (Фундаментальные физические исследования)”. (Москва, 2016). С. 248.
11. Самухина Ю.В. Теоретическое исследование статического и динамического самосогласованного электромагнитного поля. Дисс. ... канд. физ.-мат. наук. Москва: МГУ им. М.В. Ломоносова. 2016
12. Ильин В.А., Позняк Э.Г. Основы математического анализа. Часть 2. М.: Физматлит, 2004. 464 с.
13. Погорелов А.В. Дифференциальная геометрия. М.: Наука, 1974. 176 с.
14. Смирнов В.И. Курс высшей математики. Т. 2. М.: Наука, 1974. 656 с.